

II-209 土石流の流動に関する研究 (2)

京都大学防災研究所 正会員 高橋 保

1. まえがき：急勾配の堆積層上に発生した砂礫と水の混合物による段波が、流下に伴って発達する過程を取り扱い、ついで十分発達して定常的な流動状態になった土石流段波先端部の流下速度、波高、砂礫濃度について考察を加える。

2. 土石流段波の形状と発達：図-1に示したように、勾配自、容積濃度 C_d の水で飽和された砂礫堆積層上に、波高 h 、濃度 C_d の水と砂礫が一体となった段波が流下してきた瞬間を表す。堆積層は實際 α に斜面してあり。粘着力、過剰間隙水圧は作用しないものとすれば、堆積層表面下 α の位置におけるせん断力とせん断抵抗力は、それより、 $T = \gamma h \sin \theta \{C_d h + C_d \alpha\} (\sigma - p) + (\eta + \alpha) P\}$, $T_c = \gamma \cos \theta \{(C_d h + C_d \alpha) (\sigma - p)\} \tan \phi$ である。したがって、図-1に示したように、 $T = T_c$ となる深さ a_L は、 $a_L = \frac{\sigma \tan \theta - C_d (\sigma - p) (\tan \phi - \tan \theta)}{C_d (\sigma - p) (\tan \phi - \tan \theta) - \eta \tan \theta} h$ となる。ただし、中は砂礫層の内部摩擦角である。

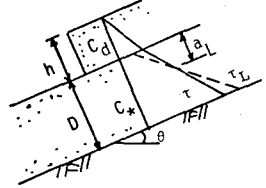


図-1 土石流の発生

地表面にまで水流が存在するときの全層流動の発生限界勾配； $\tan \theta = [C_d (\sigma - p) / (C_d \alpha + p)] \tan \phi$ ……(1)
よりも緩い勾配では、(1)式の分母は正となり、 $C_d \leq \sigma \tan \theta / \{(\sigma - p) (\tan \phi - \tan \theta)\}$ ……(2)
で、 $a_L \geq 0$ となる。 $a_L > 0$ のとき、段波先端部は流下に伴って発達する。 $a_L = 0$
となる(2)式の等号の成立する濃度を C_{d0} と書くことにしよう。

さて、(2)式で示されるよりも緩い勾配の堆積層について、 $a_L > 0$ のときの流下に伴う波高及濃度の変化を表す。図-2のように、後食による増加量は先端部 L の部分に蓄積されるものとし、流下速度 U は一定であると仮定する。

砂礫および水の保存則より、式をやれ。

$\frac{dh}{dt} = (\frac{U}{L}) \{C_d - C_{d0}\} / (C_d - C_{d0}) h$ ……(4), $\frac{dC_d}{dt} = (\frac{U}{L}) (C_d - C_{d0}) (C_{d0} - C_d) / (C_d - C_{d0}) \cdot (5)$ 図-2 段波先端部の発達を得る。(5)式の $t=0$ で $C_d = C_{d0}$ という条件下の解は、 $C_d = C_{d0} \{C_x \exp(-Ut/L) - C_x\} / \{C_{d0} \exp(-Ut/L) - C_x\}$ ……(6)
である。また、 $t \rightarrow \infty$ で $C_d \rightarrow C_{d0}$ である。(6)式を(4)式に入れ、 $t=0$ で $h = (U_0/U) h_0$ であるものとすれば、 $\frac{dh}{dt} = (U_0/U) \{C_x - C_{d0} \exp(-Ut/L)\} / (C_d - C_{d0})$ ……(7) となり、 $t \rightarrow \infty$ とすれば、 $\frac{dh}{dt} = (U_0/U) C_x / (C_d - C_{d0})$ ……(8)
である。ただし、 U_0 、 h_0 はそれぞれ堆積層の上流端から計算される供給水の流速と水深である。以上は、いま対象としたような勾配では、段波が定常流動に漸近することを示している。

勾配が(3)式で示されるものよりも急な堆積層では、理論上は、地表面まで飽和になれば全層の流動が発生することになるが、実際上は側圧の影響などにより、図-1のような段波が供給されて、はじめて流動を開始する場合が多い。このときの流動を図-3のようにモデル化する。前述の場合と同様、全層の移動速度 U を一定とし、流動の水頭勾配 $\tan \gamma$ は(2)

式の $\tan \theta$ と等しいものと仮定する。このとき、水流と砂礫に関する連続式より、 $(h - h_0) / \tan(\theta - \gamma) / \frac{dh}{dt} = DU + h_0(U_0 - U)$ ……(9) が成立し、 $t=0$ で $h = (DU + h_0 U_0) / U$ とすると、(9)式を解けば、 $h = [2(DU + h_0(U_0 - U)) / (U_0/U) \tan(\theta - \gamma) + \{DU + h_0(U_0 - U)\}^2 / (U_0/U)^2]^{1/2} + h_0$ ……(10) となる。これは段波波高が流下とともに増大していくことを示している。一方、濃度に対しても同様の考察を行うことにより、多少の簡略化で、 $C_d = D C_x U [1 - \{DU + h_0(U_0 - U)\} / h_0] / \{DU + h_0 U_0\} \{2 \tan(\theta - \gamma) x + \theta + h_0(U_0 - U)/U\}^{1/2} / \{DU + h_0(U_0 - U)\}$ ……(11) を得る。これは、 $x \rightarrow \infty$ で $C_d = D U C_x / \{DU + h_0 U_0\}$ ……(12)，また、 $(\theta - \gamma) \approx 0$ のとき、 x の値はいかにも下、 $C_d = D U C_x / (DU + h_0 U_0)$ ……(13) である。

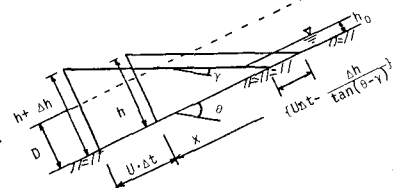


図-3 全層流動のモデル

3. 流動速度および波高: 前述の議論は、いずれも段波の移動速度じが与えられたものとしているので、これに関する考察が必要である。前報においても、Dementjev のえたダイラタント流動の式を用いて議論したが、ここでは Bagnold のえた流動式に立脚して、定常状態に対する流速と波高の無次元表示式を導く。

$$\left(\frac{U}{\sqrt{gd}}\right) / \left(\frac{g^2}{gd}\right)^{0.3} = \frac{0.693 \sin \theta \{ (G/C_d)^2 - 1 \}^{0.2} \{ C_d + (1-C_d)^{0.5} \}^{0.2}}{(C_d \sin \theta)^{0.2} (1-C_d)^{0.6}} \quad \dots (14), \quad \left(\frac{h}{d}\right) / \left(\frac{g^2}{gd}\right)^{0.2} = \frac{1.443 (a: \sin \theta)^{0.2}}{\sin^2 \theta \{ (G/C_d)^2 - 1 \}^{0.2} \{ C_d + (1-C_d)^{0.5} \}^{0.2} (1-C_d)^{0.6}} \quad \dots (15)$$

である。ここに、 d は平均粒径、 θ は充満角、 a は係数であるが、Bagnold の実験値を参考にすると、 $C_d < 0.81 C_x$ で $a = 0.042$, $C_d \geq 0.81 C_x$ で $a = [1/\{G(C_d)\}^{1/2} - 1]^{-1} \times 0.066 + 0.042$ である。また、 θ は流动層内の水のみの単位幅流量であるが、やめ堆積層内に含まれていた水を加えて流动してなることを考慮すると、 θ を上流端からの給水流量として、 $\theta = \{C_d(1-C_d)/(C_x-C_d)\}^{1/2}$ で与えられる。(14)式と(15)式を並べ置き、(16)式を用いると(8)式を得る。すなはち、 $C_d = 0$ となる定常流动の流速と波高は(14)式と(15)式で与えられることが判明する。とくに 32° 、(14)式と(16)式を代入すれば、 θ が一定であるかぎり、 H は C_d あるいは θ の変化に対して顕著に変化しないことを知る。すなはち、段波の波高の路逹過程においても、 H はほぼ一定であるとみなし得ることでき、前述の議論を支持している。

4. 実験およびその結果: 幅 20cm、長さ 7m の水路にやめ所定の厚さに実験用

砂を數々にうらしておき、堆積層表面近くまで水面が達するように浸透流を与える。 $\frac{U}{\sqrt{gd}}$ と $\tan \theta$ の関係を示す。そこへ上流端より約 10/s の清水を供給して土石流段波を発生させた。使用材料は $d_m = 3.0 \text{ mm}$, $d_{90}/d_m = 1.99$, $C_x = 0.60$, $\tan \theta = 0.75$, $T = 2.58$ である。

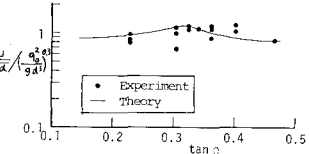


図-4. 段波の移動速度

使用材料について(2)式の右辺の値は 0.365 となるので、これを下の勾配に対しても、(3)式から求まる C_d を C_d とし、これ以上の勾配に対しては、実験値の θ を用いて計算した理論値がほぼ実験値と合っている。また、給水量一定のせと $\frac{U}{\sqrt{gd}}^{0.2}$ では、流下速度が勾配の変化にいかかわらず、ほぼ一定であることが判る。

図-5 は波高の実験値と(5), (6)式から得られる理論値を示す。ただし、 $\tan \theta > 0.365$ では、 C_d として下流端で測った実験値を用いている。(10)式によれば、(2)式が示す。されどより急勾配では、波高は下流に伴って増大するが、このような場合に対しても、ほぼ(16)式を満足しながら流动していることは、このような段波状の流动に対して、概然性流の取扱いが許されるこことを意味し興味深い。なお、国-6 は $\theta = 25^\circ$, $D = 4 \text{ cm}$ の場合について全層流动のモデルの適用性を調べたもので、飽和堆積層に対して(10)式を用い、さらにここでは省略したが、土石流の到達までには堆積層が乾燥しているものとして導いた式を用いて、実験値との比較を行っている。このような勾配に対しては、堆積層表面まで飽和状態にすることは困難であるため、むしろ乾燥堆積層の場合に近くはないが、ここで導いたモデルの妥当性を示唆している。

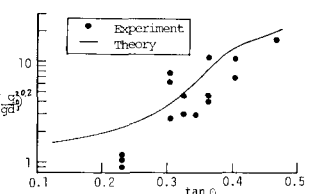


図-5. 段波の波高

図-7 は水路下流端での動床濃度の実験値と(3)式の C_d および(2)式あるいは(3)式を示したものである。 C_d の適用限界は、いまの場合、一度 $\tan \theta = 0.365$ までと考えられるが、そのとき $C_d = C_x$ となる。しかし流动は不可能であり、実際にはこれより小さい濃度で流动する。このような範囲では、(14)式と(16)式または(13)式によると、逐次近似的に C_d を求めることができ、そのようにして求めた結果は実験値とはほぼ満足すべき一致の程度を示しており、ここで行なった議論は総合的に見て妥当であるとみなせよう。

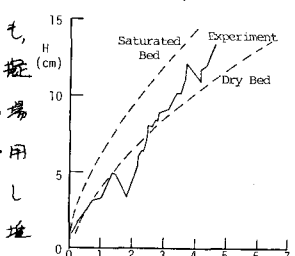


図-6. 波高の増大

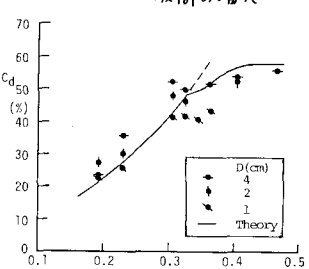


図-7. 段波先端部の濃度

参考文献: 1) 高橋: 土石流の流动に関する研究, 第31回土木学会年次講演会, 昭51.